

Méthodes fiables et robustes pour l'apprentissage machine.

Rodolphe Turpault (Bordeaux-INP/IMB)

avec Bilel Bensaid et Gael Poette (CEA/Bordeaux-INP/IMB)



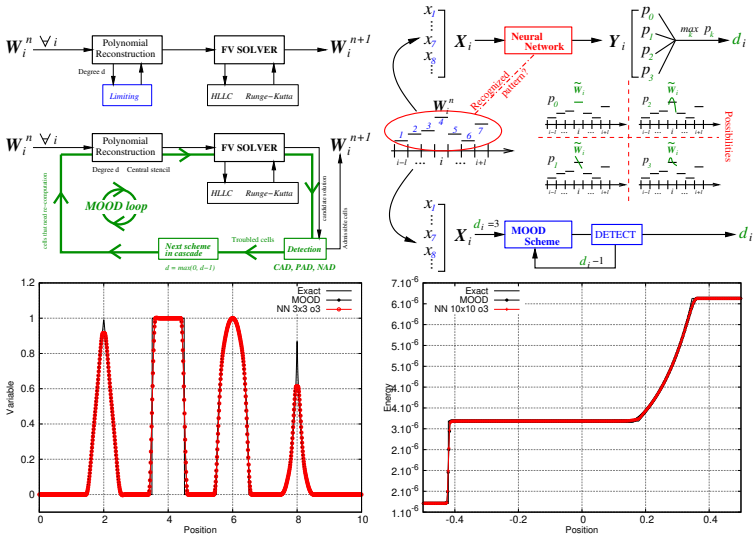
3 décembre 2024

- 1 Deux exemples pratiques
- 2 Amélioration de l'apprentissage
- 3 Apprentissage par lots
- 4 Mise en perspective: quelques écueils à éviter
- 5 Conclusion et perspectives

- 1 Deux exemples pratiques
- 2 Amélioration de l'apprentissage
- 3 Apprentissage par lots
- 4 Mise en perspective: quelques écueils à éviter
- 5 Conclusion et perspectives

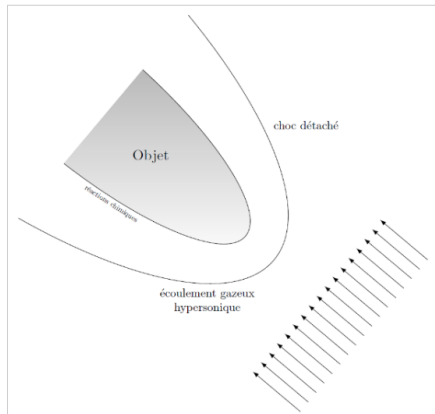
Amélioration d'un schéma numérique

A. Bourriaud, R. Loubère, R. Turpault [1]



Un problème de rentrée atmosphérique

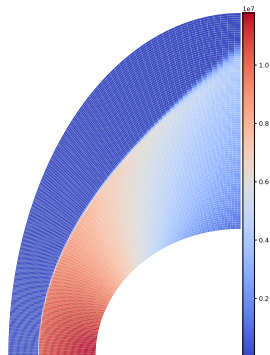
P. Novello, G. Poette, D. Lugato, S. Peluchon, P. Congedo [2]



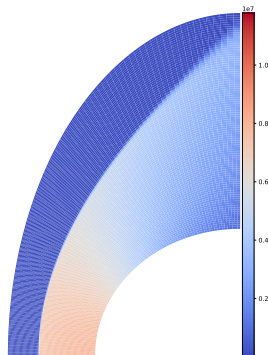
Enjeu: conception d'engins entrants dans l'atmosphère

Modèle PG vs. Modèle M_{++} vs. modèle hybride

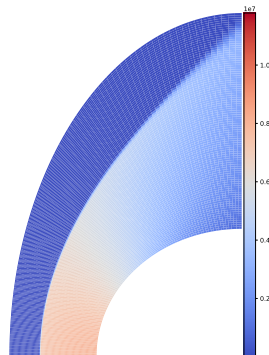
(cartes de pression pour plusieurs modèles de réactions chimiques)



PG: 80s.

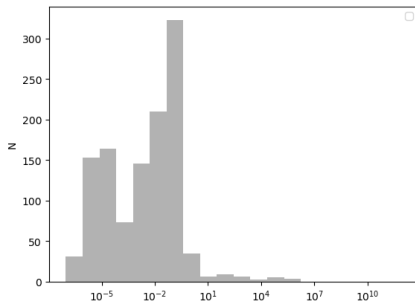


M_{++} : 4090s.

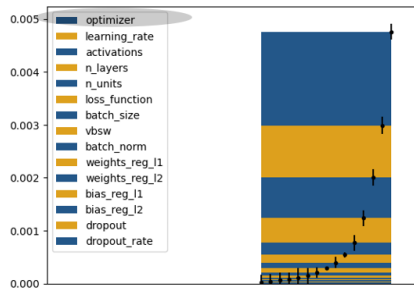


NN: 136s. (gain $\times 30$)

Construire des réseaux de neurones efficaces n'est pas toujours facile [3]



Distrib. des erreurs



Sensibilité aux hyperparamètres

- Des erreurs allant de 10^{-6} à 10^7 ... Beaucoup d'apprentissages instables (NaN)...
- Construire un réseau efficace nécessite beaucoup de temps "ingénieur"...
- L'algorithme d'apprentissage est l'hyperparamètre le plus important...

- 1 Deux exemples pratiques
- 2 Amélioration de l'apprentissage**
- 3 Apprentissage par lots
- 4 Mise en perspective: quelques écueils à éviter
- 5 Conclusion et perspectives

Cas supervisé: on se donne une base de données (d'entraînement):

$$(X_k, \bar{Y}_k)_{k=1..P},$$

et on cherche les paramètres optimaux du modèle:

$$(w^*, b^*) = \operatorname{argmin}_{(w,b)} \mathcal{R}(w, b),$$

où \mathcal{R} est une fonction de coût, par exemple (MSE):

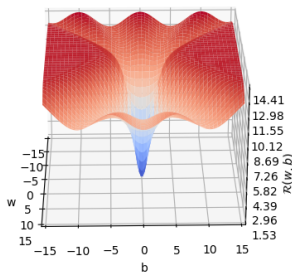
$$\mathcal{R}(w, b) = \frac{1}{2P} \sum_{k=1}^P \|u_{(w,b)}(X_k) - \bar{Y}_k\|^2$$

→ Pb d'optimisation (non-convexe) en grande dimension!

Exemples

Des fonctions non-convexes en deux dimensions

$$\mathcal{R}(w, b) = \sum_{i=1}^{50} \|\sigma(wx_i + b) - (0.5 + 0.25 \sin(3\pi x_i))\|^2 \text{ for } x_i = -1 + i \frac{2}{50}.$$

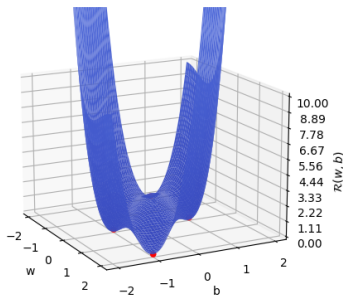


⇒ plusieurs minima locaux, des endroits plats, des points-selles, des maxima...

Exemples

Des fonctions non-convexes en deux dimensions

$$\mathcal{R}(w, b) = g(w + b)^2 + g(b)^2, \quad g(z) = z^2 - 1 \text{ (Benchmark \#1)}.$$



⇒ plusieurs minima locaux **raides**, (des points selles,) des maxima...

Comment trouver un minimum?

On utilise une méthode numérique itérative (optimiseur):

Partant d'une initialisation $\theta_0 = (w_0, b_0)$, on construit une suite $\theta_n = (w_n, b_n)$ dont on espère qu'elle converge vers le minimum.

Exemple: descente de gradient (GD):

$$\theta_{n+1} = \theta_n - \eta \nabla \mathcal{R}(\theta_n),$$

où $\eta > 0$ est le pas de descente (ou *learning rate* dans ce contexte).

Comment trouver un minimum?

Problèmes pratiques:

- 1 Comment calculer le gradient de \mathcal{R} ?
- 2 Comment choisir η ?
- 3 Quel critère d'arrêt?
- 4 Quelle initialisation?

Qq optimiseurs “classiques”

(4 sont présentés ici mais déjà autant de paramètres à régler)

Gradient Descent (GD) de paramètre η

$$\theta_{n+1} = \theta_n - \eta \nabla \mathcal{R}(\theta_n), \mathbf{0} < \eta \leq \mathbf{1}(?).$$

Momentum de paramètres η et β_1 [4]

$$\begin{cases} v_{n+1} = (\mathbf{1} - \beta_1)v_n + \beta_1 \nabla \mathcal{R}(\theta_n), \mathbf{0} < \beta_1 \leq \mathbf{1}, \\ \theta_{n+1} = \theta_n - \eta v_{n+1}. \end{cases}$$

Adam without bias (AWB) de paramètres η , β_1 , ϵ_a et β_2 [5]

$$\begin{cases} v_{n+1} = (\mathbf{1} - \beta_1)v_n + \beta_1 \nabla \mathcal{R}(\theta_n), \\ S_{n+1} = (\mathbf{1} - \beta_2)S_n + \beta_2 \nabla \mathcal{R}(\theta_n)^2, \mathbf{0} < \beta_2 \leq \mathbf{1} \\ \theta_{n+1} = \theta_n - \eta \frac{v_{n+1}}{\sqrt{S_{n+1} + \epsilon_a}}. \end{cases}$$

Adam de paramètres η , β_1 , ϵ_a et β_2 [5]

$$\begin{cases} v_{n+1} = (\mathbf{1} - \beta_1)v_n + \beta_1 \nabla \mathcal{R}(\theta_n), \\ \hat{v}_{n+1} = \frac{v_{n+1}}{\mathbf{1} - (\mathbf{1} - \beta_1)^n}, \\ S_{n+1} = (\mathbf{1} - \beta_2)S_n + \beta_2 \nabla \mathcal{R}(\theta_n)^2, \\ \hat{S}_{n+1} = \frac{S_{n+1}}{\mathbf{1} - (\mathbf{1} - \beta_2)^n}, \\ \theta_{n+1} = \theta_n - \eta \frac{\hat{v}_{n+1}}{\sqrt{\hat{S}_{n+1} + \epsilon_a}}. \end{cases}$$

Comment les optimiseurs se comportent-ils en pratique?

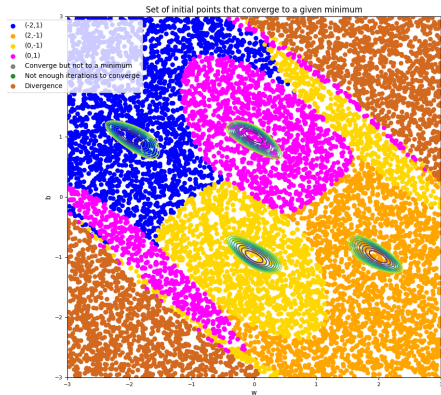


Figure: Sensibilité à la condition initiale, benchmark #1 pour GD

Comment les optimiseurs se comportent-ils en pratique?

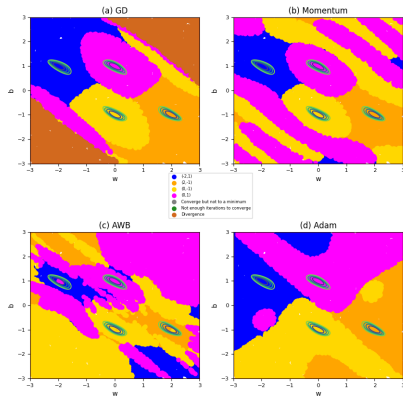


Figure: Sensibilité à la condition initiale, benchmark #1 pour 4 optimiseurs

Comment les optimiseurs se comportent-ils en pratique?

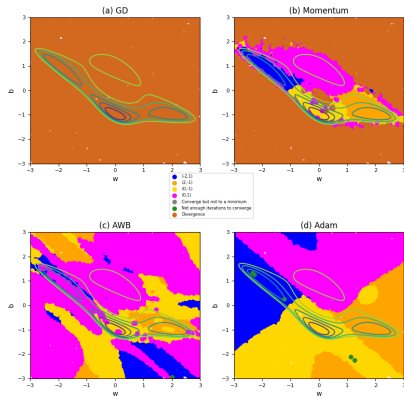


Figure: Sensibilité à la condition initiale, benchmark #2 pour 4 optimiseurs

Comment les optimiseurs se comportent-ils en pratique?

Pourquoi ne sommes nous pas satisfaits des comportements précédents:

- Le comportement divergent est problématique
(pour certains entraînements, plus de 70% de NaN!)
- Les instabilités ruinent toutes les connaissances *a priori* sur θ que l'on pourrait avoir
(Initialisations Xavier/Bengio/He ou régularisation L1/L2 = *a priori* sur la position des minima)
(PINNS par exemple, construisent une régularisation basée sur la physique)
(Le *Transfer Learning* est basé sur l'utilisation de réseaux pré-entraînés)
- Le réglage des paramètres des optimiseurs est très pénible pour un utilisateur.
(... éviter les comportements précédents est très difficile, voire impossible ...)
(... beaucoup d'essais/erreurs ...)
(... cela prend beaucoup de temps "ingénieur" - "machine learning" ou "user learning"?)

Les optimiseurs classiques peuvent être vus comme des discrétisations d'EDO.

Cas de GD:

$$\theta_{n+1} = \theta_n - \eta \nabla \mathcal{R}(\theta_n),$$

Schéma d'Euler explicite consistant avec:

$$\theta'(t) = -\nabla \mathcal{R}(\theta(t)).$$

On peut utiliser la théorie sur les EDO. Ici,

$$V(\theta) := \mathcal{R}(\theta) - \mathcal{R}(\theta^*)$$

est une fonction de Lyapunov (énergie/entropie):

$$\dot{V}(\theta) = -\|\nabla \mathcal{R}(\theta)\|^2.$$

Que se passe-t-il en pratique?

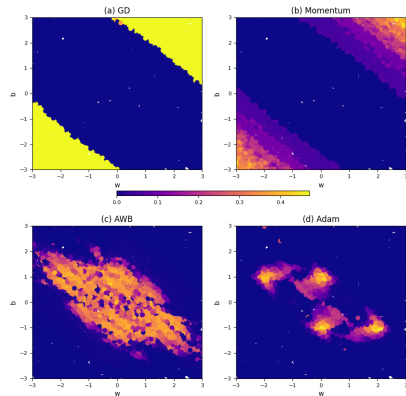


Figure: Décroissance de V (proportion), benchmark #1 pour 4 optimiseurs

On peut la forcer grâce à un pas adaptatif. Pour corriger GD:

- 1 η_n est choisi tq $\mathcal{R}(\theta_n + \eta_n \nabla \mathcal{R}(\theta_n)) - \mathcal{R}(\theta_n) < -\lambda \eta_n \|\nabla \mathcal{R}(\theta_n)\|^2$,¹
- 2 $\theta_{n+1} = \theta_n - \eta_n \nabla \mathcal{R}(\theta_n)$,

En pratique l'étape 1 s'effectue faisant une dichotomie (de facteur $f_1 > 1$), puis avant chaque itération, on multiplie η_n par un facteur $f_2 > 1$.

Typiquement, $\lambda = 0.5$, $f_1 = 30$ et $f_2 = 10000$.

¹Pour GD, on retrouve ici la condition d'Armijo.

Retour sur l'exemple précédent

benchmark #2

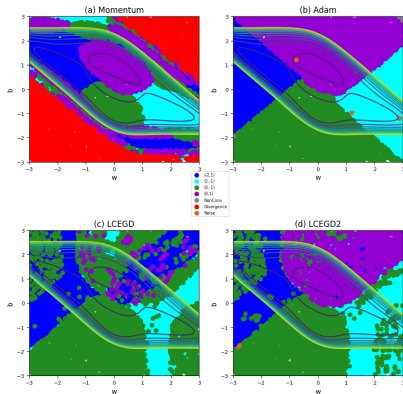


Figure: Les optimiseurs à pas adaptatif n'ont plus d'instabilité de Lyapunov.

Autre exemple plus difficile

benchmark #3

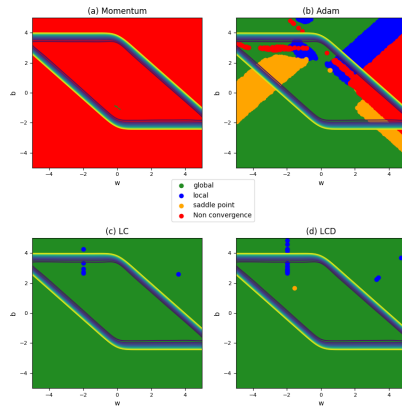


Figure: Pas de divergences, stabilité de Lyapunov (et pas de pt-selle capté)

Quid des nouveaux hyperparamètres?

On montre qu'ils ne sont pas sensibles. Par exemple (hypothèses omises):

Theorem

Le nombre d'évaluations moyen de la fonction de Lyapunov par LCD vérifie:

$$\frac{C_n}{n} \leq \left[1 + \frac{\log(f_2)}{\log(f_1)} \right] + \frac{1}{n} \frac{\log\left(\frac{f_1^2 \eta_0}{\eta_*}\right)}{\log(f_1)}$$

Theorem (Taux de convergence au voisinage d'un point critique θ^*)

Si on note $S_n := \sum_{k=0}^{n-1} \eta_k$ et α le coefficient de Łojasiewicz:

$$\|\theta_n - \theta^*\| = \begin{cases} \mathcal{O}\left(\exp(-\lambda\alpha c^2 S_n)\right), & \text{si } \alpha = \frac{1}{2}, \\ \mathcal{O}\left([cte + \lambda c^2 (1 - 2\alpha) S_n]\right)^{-\frac{\alpha}{1-2\alpha}}, & \text{si } \alpha \in]0, \frac{1}{2}[. \end{cases}$$

Quelques exemples plus classiques en ML

Boston Housing - [13(tanh)15(tanh)15(lin)1]

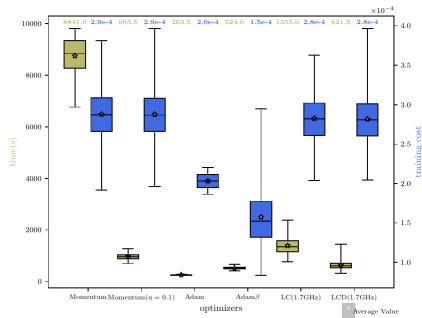


Figure: Performances (Boston Housing)

Quelques exemples plus classiques en ML

Boston Housing - [13(tanh)15(tanh)15(lin)1]

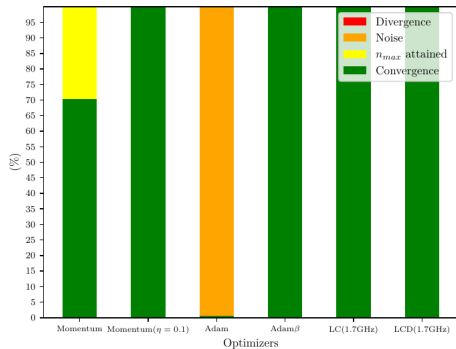


Figure: Convergence des trajectoires (Boston Housing)

Quelques exemples plus classiques en ML

Sonar - [60(GELU)30(sigmoid)1]

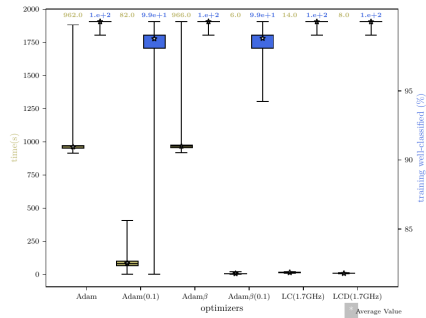


Figure: Performances (Sonar)

Quelques exemples plus classiques en ML

Sonar - [60(GELU)30(sigmoid)1]

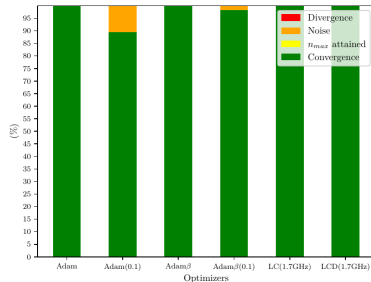


Figure: Convergence des trajectoires (Sonar)

Quelques exemples plus classiques en ML

MNIST - [754(tanh)24(softmax)10]

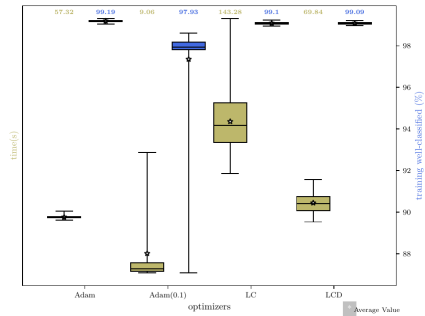


Figure: Performances (MNIST)

Quelques exemples plus classiques en ML

FashionMNIST - LeNet1

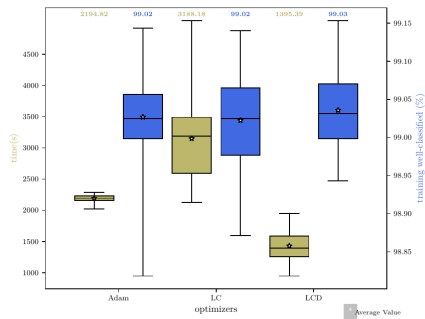


Figure: Performances (Fashion MNIST)

Les résultats en bref sur cette partie ([7]):

- Les nouveaux optimiseurs sont stables, attractifs, convergents
(plusieurs théorèmes en témoignent \implies garanties)
- Les entraînements sont plus rapides \implies frugalité
- Pas de réglages nécessaires par les utilisateurs \implies pas de pb d'explicabilité du comportement
- Les nouveaux optimiseurs atteignent parfois de meilleures précisions que les classiques
(parfois, des architectures moins lourdes sont obtenues pour la même précision \implies frugalité)

- 1 Deux exemples pratiques
- 2 Amélioration de l'apprentissage
- 3 Apprentissage par lots**
- 4 Mise en perspective: quelques écueils à éviter
- 5 Conclusion et perspectives

On peut découper les données en m lots (*mini-batches*):

$$\mathcal{R}(\theta) = \sum_{i=1}^m \mathcal{R}_i(\theta).$$

Dans ce cas, à chaque itération, on n'a accès qu'à la i^e partie des données.
Un intérêt pratique: moins de demande mémoire.

Remarque: les méthodes stochastiques sont basées sur ce principe (pour d'autres raisons).

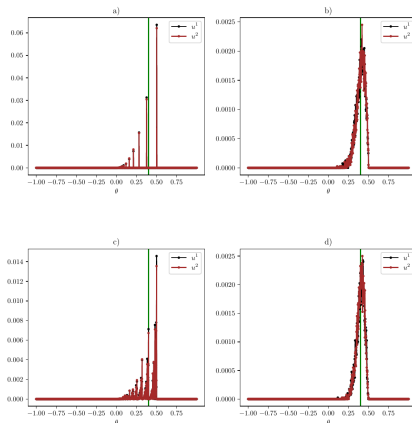


Figure: Benchmark par lots #1 pour SGD avec différents pas de temps $\eta =$ a) $(\max(L_1, L_2))^{-1}$, b) $1/3$ a), c) $(L_1 + L_2)^{-1}$, d) $1/3$ c)

Dans le cas déterministe avec 2 lots, on résout:

$$\begin{aligned}\theta_{n+1/2} &= \theta_n - \eta \nabla \mathcal{R}_1(\theta_n), \\ \theta_{n+1} &= \theta_{n+1/2} - \eta \nabla \mathcal{R}_2(\theta_{n+1/2}).\end{aligned}$$

L'état stationnaire est alors:

$$\theta_\infty = \frac{2}{5 - 8\eta} \neq \theta^* = \frac{2}{5}.$$

Le problème vient du fait que l'on utilise une méthode de *splitting* non équilibrée.

Schéma de Speth [8]:

$$\begin{aligned}\theta_{n+1/2} &= \theta_n - \eta \nabla \mathcal{R}_1(\theta_n) + \eta c_n, \\ \theta_{n+1} &= \theta_{n+1/2} - \eta \nabla \mathcal{R}_2(\theta_{n+1/2}) - \eta c_n, \\ c_{n+1} &= c_n + \frac{1}{2\eta} (\theta_{n+1} + \theta_n - 2\theta_{n+1/2}).\end{aligned}$$

On obtient à la limite: $\nabla \mathcal{R}(\theta_\infty) = 0$.

Cette idée peut être (astucieusement) adaptée à LCD pour obtenir un optimiseur par lots équilibré: RAG.

Retour sur le cas pratique

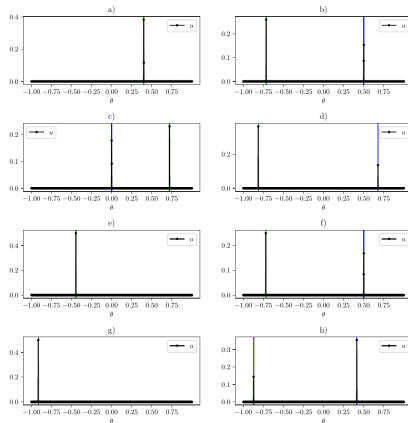


Figure: Résultats de RAG pour les 8 benchmarks par lots.

Résultats numériques

Benchmark # 3

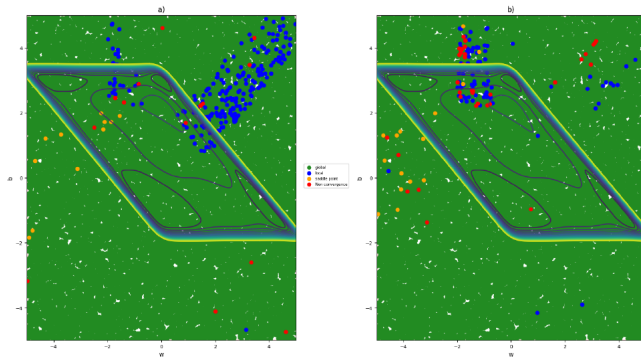


Figure: Résultats de RAG et RAGL sur le benchmark # 3.

Résultats numériques

Boston Housing

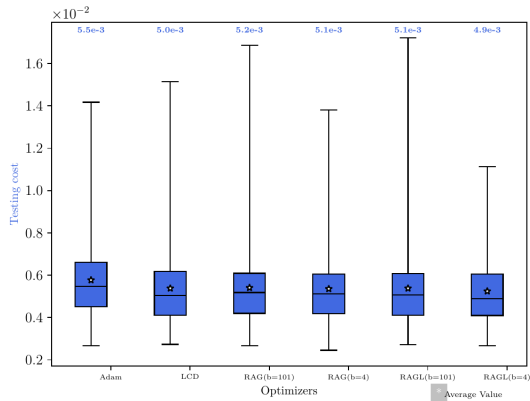


Figure: Performances (Boston Housing).

Résultats numériques

Boston Housing

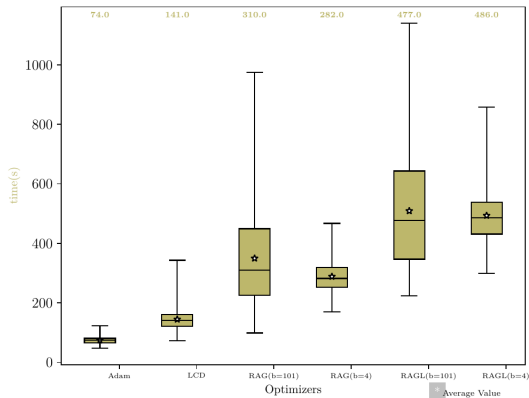


Figure: Temps de calcul (Boston Housing).

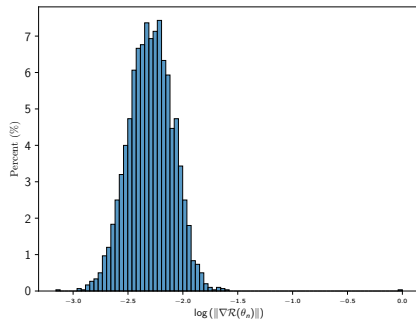


Figure: RRA - distribution des gradients avec $b = 4$

- 1 Deux exemples pratiques
- 2 Amélioration de l'apprentissage
- 3 Apprentissage par lots
- 4 Mise en perspective: quelques écueils à éviter**
- 5 Conclusion et perspectives

- Attention aux légendes urbaines!
- Bigger is better.
- Ne pas correctement valider.
- Surinterpréter.

Attention aux légendes urbaines!

(un exemple parmi d'autres)

Fait communément accepté dans la littérature²:

"... seule la stochasticité permet de s'échapper des points selles"

²traduction d'une phrase trouvée dans une publication de référence

Attention aux légendes urbaines!

(un exemple parmi d'autres)

Fait communément accepté dans la littérature²:

"... seule la stochasticité permet de s'échapper des points selles"

C'est faux! En tout cas ce n'est pas la seule solution ...

²traduction d'une phrase trouvée dans une publication de référence

Attention aux légendes urbaines!

(un exemple parmi d'autres)

Fait communément accepté dans la littérature²:

"... seule la stochasticité permet de s'échapper des points selles"

3 des optimiseurs déterministes sont asymptotiquement instables aux voisinages de points selles

²traduction d'une phrase trouvée dans une publication de référence

Bigger is better (?)

2 résultats issus de la thèse de Bilel Bensaïd.

- MNIST:

Réseau	DDL	Max	Médiane
784 × 24 × 10	19 <i>k</i>	96.3%	95.9%
784 × 300 × 10	239 <i>k</i>	95.3%	
784 × 1000 × 10	795 <i>k</i>	95.5%	
784 × 300 × 100 × 10	267 <i>k</i>	96.9%	

- Fashion MNIST:

Réseau	DDL	Max	Médiane
LeNet-1	3.2 <i>k</i>	99.1%	98.8%
Fine-DARTS	3.2 <i>M</i>	96.9%	
WRN28-10	36 <i>M</i>	96.4%	
Resnet110	1.6 <i>M</i>	96.0%	
VGG8B	7.3 <i>M</i>	95.5%	

- L'algorithme de Momentum tel qu'implémenté dans diverses bibliothèques de ML:

$$\begin{array}{l|l} \begin{array}{l} v_{n+1} = (1 - \beta_1)v_n + \beta_1 \nabla \mathcal{R}(\theta_n), \\ \theta_{n+1} = \theta_n - \eta v_{n+1} \end{array} & \begin{array}{l} v_{n+1} = (1 - \beta_1)v_n - \eta \nabla \mathcal{R}(\theta_n), \\ \theta_{n+1} = \theta_n + v_{n+1} \end{array} \\ \hline \begin{array}{l} v_{n+1} = (1 - \beta_1)v_n + \eta \nabla \mathcal{R}(\theta_n), \\ \theta_{n+1} = \theta_n - \eta v_{n+1} \end{array} & \begin{array}{l} v_{n+1} = (1 - \beta_1)v_{n+1} + \nabla \mathcal{R}(\theta_n), \\ \theta_{n+1} = \theta_n - \eta v_{n+1} \end{array} \end{array}$$

- Comparer les résultats sur des cas complexes n'est pas suffisant.

Que mesure-t-on au final?

Que dire des tableaux présentés il y a 2 transparents?

- 1 Deux exemples pratiques
- 2 Amélioration de l'apprentissage
- 3 Apprentissage par lots
- 4 Mise en perspective: quelques écueils à éviter
- 5 Conclusion et perspectives

- Des méthodes pour fiabiliser les optimiseurs.
- Des résultats théoriques garantissant les propriétés.
- Des résultats pratiques à la hauteur.
- On peut encore améliorer les résultats dans certains cas particulièrement raides.
- Il reste encore beaucoup de choses à comprendre: initialisations, architecture, etc.

Merci de votre attention!

- 1 A. Bourriaud, R. Loubère, R. Turpault, A Priori Neural Networks Versus A Posteriori MOOD Loop: A High Accurate 1D FV Scheme Testing Bed, Journal of Scientific Computing, 2020,
- 2 P. Novello, G. Poette, D. Lugato, S. Peluchon, P. Congedo, Goal oriented sensitivity analysis of hyperparameters in Deep Learning, Journal of Scientific Computing, 2023,
- 3 P. Novello, Combining supervised deep learning and scientific computing : some contributions and application to computational fluid dynamics, 2022,
- 4 B. T. Polyak, Some methods of speeding up the convergence of iteration methods, USSR Computational Mathematics and Mathematical Physics, 1964,
- 5 D. Kingma, J. Ba, Adam: A Method for Stochastic Optimization, International Conference on Learning Representations, 2014,
- 6 B. Bensaid, G. Poette, R. Turpault, Deterministic Neural Networks Optimization from a Continuous and Energy Point of View, 2023,
- 7 B. Bensaid, Analyse et développement de nouveaux optimiseurs en Machine Learning, 2024,
- 8 R.L. Speth, W.H. Green, S. Macmanara, and G. Strang. Balanced Splitting AND Rebalanced Splitting. SIAM Journal on Numerical Analysis, 2013.